

Coppie di Triangoli quasi congruenti, Triangoli continui, Spirali logaritmiche

Giovanni Vincenzi

Università di Salerno

`vincenzi@unisa.it`

31 Ottobre 2015, Gioia del Colle

Una questione elementare

Ci sono alcune questioni elementari che non sono molto note. Ad esempio siano $\mathcal{T} = (a, b, c)$ e $\mathcal{T}' = (a', b', c')$ due triangoli di lati rispettivamente a, b, c e a', b', c' . Se \mathcal{T} e \mathcal{T}' sono simili e a è congruo ad a' e b è congruo a b' allora possiamo concludere che i triangoli \mathcal{T} e \mathcal{T}' sono congrui? Equivalentemente possiamo formulare questo quesito come segue:

“Due triangoli che hanno 5 elementi congruenti sono necessariamente congruenti?”

Esempi di coppie di triangoli quasi congruenti

Come mostrano i seguenti esempi la risposta è negativa.

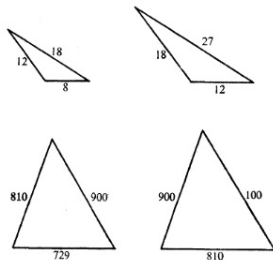


Figura: Esempi di triangoli quasi congruenti

Coppie di triangoli di questo tipo si dicono *quasi congruenti*, e sono state oggetto di vari studi (vedi ad esempio [2] [5] and [6]).

Triangoli quasi congruenti e progressioni geometriche

Siano u e r numeri reali positivi. Una successione numerica del tipo $ur, ur^2, ur^3, \dots, ur^n$ si chiama *progressione geometrica di ragione r* .

Si osservi che se $\mathcal{T} = (a, b, c)$ e $\mathcal{T}' = (a', b', c')$ sono quasi congruenti, allora i loro lati sono in progressione geometrica.

Nel primo esempio precedente, valutando i rapporti dei lati abbiamo $18 : 12 = 12 : 8$ e $27 : 18 = 18 : 12$ questi rapporti valgono tutti $3/2$.

Posto $r = 3/2$ e $u = 16/3$ abbiamo la misura dei lati

$$8 = u \cdot r = 16/3 \cdot 3/2,$$

$$12 = u \cdot r^2 = 16/3 \cdot 9/4,$$

$$18 = u \cdot r^3 = 16/3 \cdot 27/8,$$

$$27 = u \cdot r^4 = 16/3 \cdot 81/16.$$

Assegnato un triangolo \mathcal{T} , possiamo affermare che esiste un triangolo \mathcal{T}' tale che \mathcal{T} e \mathcal{T}' siano quasi congruenti?

Nella maggior parte dei casi la risposta è negativa: essa dipende dalla scelta del triangolo \mathcal{T} !

Un triangolo per cui il quesito precedente ha risposta positiva lo diremo *triangolo continuo* (vedi [6]).

Chiaramente se un triangolo \mathcal{T} è continuo, ogni altro triangolo \mathcal{T}' che sia quasi congruente a \mathcal{T} sarà anch'esso continuo; in particolare sarà simile a \mathcal{T} .

Triangoli di Keplero

Una notevole classe di esempi di triangoli continui è fornita dalla classe dei *Triangoli retti Aurei* (*Golden right triangles*) anche detti *Triangoli di Keplero*. Essi sono definiti come quei triangoli in cui la lunghezza dei lati soddisfa la seguente proporzione:

Ipotenusa : cateto maggiore = cateto maggiore : cateto minore.

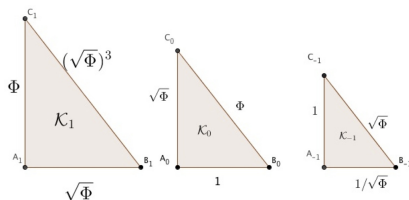


Figura: Esempi di Triangoli di Keplero

Triangoli 'vicini' a quelli di Keplero

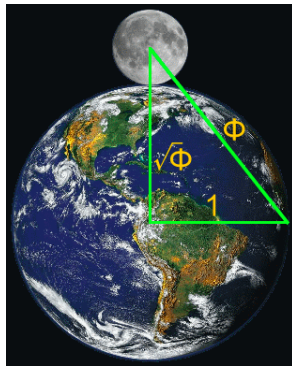
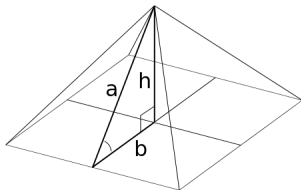


Figura: 1) Misure approssimate della piramide di Giza; 2) Terra-Luna- ϕ

I triangoli di Keplero e la *Spira solaris*

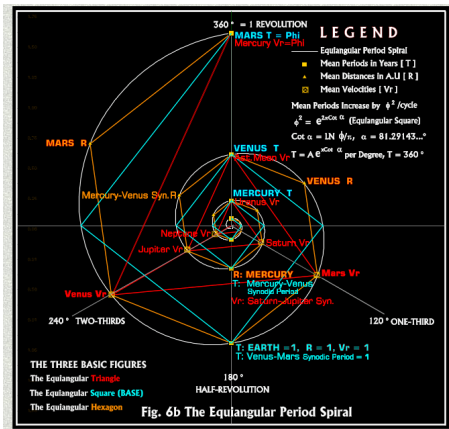
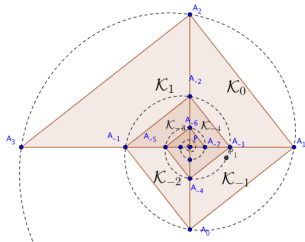


Figura: La *Spira solaris* $\rho = \Phi^{\theta/\pi}$, punto iniziale (1,0).

Caratterizzazione dei triangoli continui

Poiché i triangoli di Keplero descrivono la Spira solaris, ci si chiede se altri triangoli possono essere utilizzati per descrivere altre spirali logaritmiche. Chiaramente i candidati più idonei sono i triangoli continui. A tal scopo è opportuno richiamare alcune loro proprietà (vedi [5] Teorema 1, e [6] page 22):

Theorem

Sia $\mathcal{T} = (a, b, c)$ un triangolo. Se \mathcal{T} è continuo, allora i lati a, b, c sono in progressione geometrica di ragione appartenente a $(1/\Phi, \Phi) \setminus \{1\}$. Viceversa per ogni progressione geometrica ur, ur^2, ur^3 , dove u è un numero reale positivo e la "ragione" r giace in $(1/\Phi, \Phi) \setminus \{1\}$, il triangolo (ur, ur^2, ur^3) è continuo.

Osservazioni sui triangoli continui

1) Si verifica facilmente che se $r \in (1/\Phi, 1/\sqrt{\Phi}) \cup (\sqrt{\Phi}, \Phi)$ i triangoli corrispondenti sono ottusi; e se $r \in (1/\sqrt{\Phi}, \sqrt{\Phi}) \setminus \{1\}$ i triangoli corrispondenti sono acuti. Inoltre se r è esattamente $\sqrt{\Phi}$ (oppure $1/\sqrt{\Phi}$) abbiamo che (ur, ur^2, ur^3) definisce un triangolo di Keplero, per ogni positivo u .

2) Se $1 \neq r \in (1/\Phi, \Phi)$, allora per ogni intero n possiamo considerare il triangolo continuo $\mathcal{T}_n = (r^n, r^{n+1}, r^{n+2})$. La scrittura " $\mathcal{T}_n < \mathcal{T}_m$ " indica che l'area di \mathcal{T}_n è minore dell'area di \mathcal{T}_m .

Catene di triangoli continui

Chiaramente per ogni $r \in (1/\Phi, \Phi)$ gli insiemi di triangoli continui

$$\{\mathcal{T}_n\}_{n \in \mathbb{Z}} = \{(r^n, r^{n+1}, r^{n+2})\}_{n \in \mathbb{Z}} \text{ e}$$

$$\{\mathcal{T}'_n\}_{n \in \mathbb{Z}} = \{((\frac{1}{r})^n, (\frac{1}{r})^{n+1}, (\frac{1}{r})^{n+2})\}_{n \in \mathbb{Z}} \text{ coincidono.}$$

D'altra parte è opportuno osservare che queste due catene di triangoli continui presentano un comportamento “duale”:

se $1 < r$, allora la catena (\mathcal{T}_n) è ascendente, mentre (\mathcal{T}'_n) è discendente;

se $r < 1$, allora la catena (\mathcal{T}_n) è discendente, mentre (\mathcal{T}'_n) è ascendente.

per questo motivo è possibile restringere lo studio di queste catene al caso in cui $r \in (1, \Phi)$, e quindi considereremo la catena ascendente di triangoli (\mathcal{T}_n) .

1, Le (r,k) -Spirali discrete

Sia $r \in (1, \Phi)$, Per ogni intero n poniamo $A_{n+1}, A_{n+2}, A_{n+3}$, come vertici di \mathcal{T}_n : $\mathcal{T}_n = (r^n, r^{n+1}, r^{n+2}) = (A_{n+1}, A_{n+2}, A_{n+3})$.

Inoltre, fissato un intero positivo k possiamo considerare la (sotto)catena $\{\mathcal{T}_{nk}\}_{n \in \mathbb{Z}}$. Partendo da $\mathcal{T}_0 = (1, r^1, r^2) = (A_1, A_2, A_3)$, possiamo considerare i triangoli $\mathcal{T}_k = (r^k, r^{k+1}, r^{k+2}) = (A_3, A_4, A_5)$ e $\mathcal{T}_{-k} = (r^{-k}, r^{-k+1}, r^{-k+2}) = (A_1, A_0, A_{-1})$. Utilizzando la loro similitudine, possiamo effettuare la seguente costruzione (vedi figura 2):

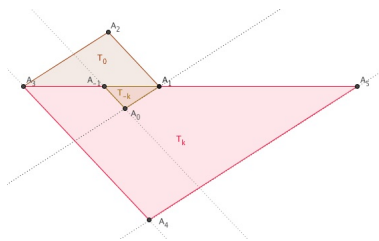


Figura: La costruzione della (r, k) -spirale discretizzata

2, Le (r,k) -Spirali discrete

Iterando questa costruzione otteniamo una poligonale a forma di spirale, $\mathcal{P}_{r,k}$, che chiameremo (r, k) -spirale discretizzata.

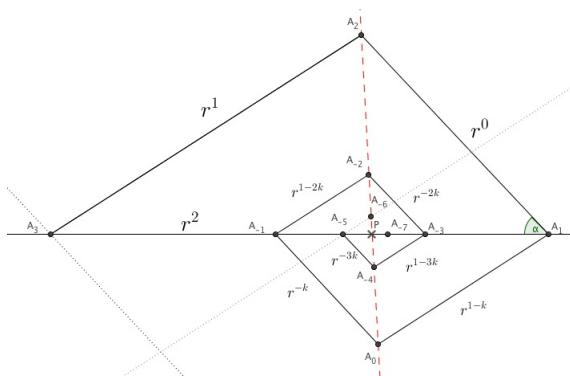


Figura: Il polo di una (r, k) -spirale discretizzata

Per questa Spirale sussiste il seguente risultato (vedi [1, Lemma 3.1]):

3, Le (r,k) -Spirali discrete

Lemma

Sia $r \in (1, \Phi)$ e k un intero positivo. Sia $\mathcal{P}_{r,k}$ la (r, k) -spirale discretizzata. Allora tutti i vertici A_{2n} , con indice pari sono allineati su una retta s . In particolare, posto P l'intersezione tra s e la retta contenente tutti i vertici dispari A_{2n+1} , risulta che ogni A_{1-4n} giace a destra di P e ogni A_{3-4n} giace a sinistra di P , per ogni intero n . Inoltre

$$(a) \quad |\overline{A_3 P}| = \sum_{n=0}^{\infty} |\overline{A_{3-4n} A_{3-4(n+1)}}| = \frac{r^{2+k}}{r^k + 1};$$

$$(b) \quad |\overline{A_1 P}| = \sum_{n=0}^{\infty} |\overline{A_{1-4n} A_{1-4(n+1)}}| = \frac{r^2}{r^k + 1};$$

$$(c) \quad |\overline{A_2 P}| = \sum_{n=0}^{\infty} |\overline{A_{2-4n} A_{2-4(n+1)}}| = \frac{\sqrt{r^{2k} + r^k - r^{k+4} + r^{k+2} + r^2}}{(r^k + 1)};$$

$$(d) \quad |\overline{A_0 P}| = \sum_{n=0}^{\infty} |\overline{A_{4n} A_{-4(n+1)}}| = \frac{\sqrt{r^{2k} + r^k - r^{k+4} + r^{k+2} + r^2}}{r^k (r^k + 1)}.$$

Chiaramente, possiamo tentare di costruire una “spirale discretizzata” a partire da un qualunque triangolo. Ma in generale il risultato precedente non vale (see figure 7).

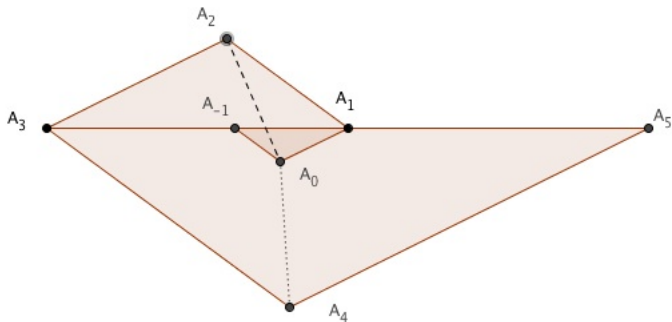


Figura: Costruzione con una catena di triangoli non continui

Le spirali logaritmiche

Una *spirale logaritmica* è una curva piana la cui equazione in coordinate polari (ρ, θ) è $\rho = te^{(h\theta)}$. Il termine h è un numero positivo chiamato *costante di crescita della spirale*, e t è la *costante della spirale* che dipende dalla scelta della condizione iniziale $\theta = 0$. Rileviamo che l'incremento di θ è inteso in senso antiorario. Una rappresentazione cartesiana di una spirale logaritmica è la seguente:

$$(1) \quad \begin{cases} x(\theta) = \rho(\theta)\cos(\theta) = te^{(h\theta)}\cos(\theta) \\ y(\theta) = \rho(\theta)\sin(\theta) = te^{(h\theta)}\sin(\theta), \end{cases}$$

La distanza dall'origine (Polo della spirale) del punto $(x(\theta), y(\theta))$ cresce esponenzialmente al crescere di θ .

Spirali logaritmiche Famose

La più celebre tra le spirali logaritmiche è la *spirale d'oro* (Golden Spiral) la cui equazione è

$$\rho = e^{(2/\pi) \lg(\Phi)\theta} = \Phi^{2\theta/\pi} \quad \text{con punto iniziale } (1,0).$$

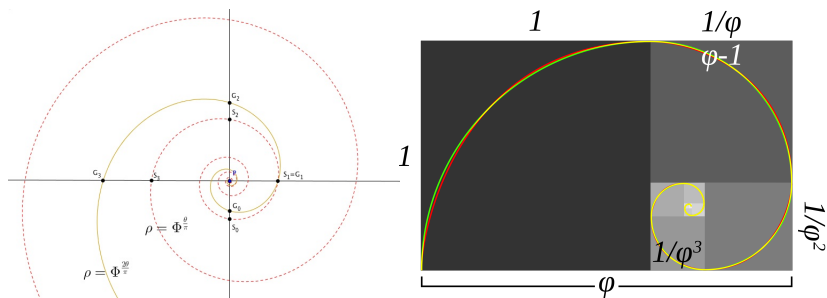


Figura: A sinistra Spira solaris (linea rossa tratteggiata), e la Spirale d'oro (linea color oro); a destra la Spirale d'oro e Qulla di Fibonacci

Spirali logaritmiche

Notiamo che la costante di crescita è $(2/\pi) \lg(\Phi)$. Inoltre, per $\theta = 0$ abbiamo $\rho = 1$, per $\theta = \pi/2$ abbiamo $\rho = \Phi$. In generale si vede facilmente che la spirale d'oro si allontana dall'origine di un fattore Φ per ogni quarto di giro (in senso antiorario); pertanto " Φ^4 " da la misura del *fattore di crescita* di questa spirale dopo un giro completo attorno all'origine.

In generale se \mathcal{S} è una spirale di equazione $\rho = te^{(1/\pi) \lg(r^k)\theta} = tr^{k\theta/\pi}$, dove t dipende dal punto iniziale $(\rho(0), 0)$, il suo fattore di crescita è r^{2k} .

Un'altra celebre spirale logaritmica è la *Spirale di Fidia (Pheidia Spiral)*, la cui equazione è:

$$\rho = e^{(1/2\pi) \lg(\Phi)\theta} = \Phi^{\theta/2\pi}, \quad \text{Con punto iniziale } (1,0).$$

Notiamo che la Pheidia Spirals, Spira Solaris, and Golden Spiral hanno rispettivamente le seguenti "crescite": Φ , Φ^2 , Φ^4 .

Discretizzazione delle spirali logaritmiche

Quello che si può provare è che ogni (r, k) -spirale discretizzata è connessa ad una coppia di spirali logaritmiche $\mathcal{S}_1 = \mathcal{S}_1(r, k)$ e $\mathcal{S}_2 = \mathcal{S}_2(r, k)$. Precisamente (vedi [1, Teorema 4.1])

Theorem

Sia $r \in (1, \Phi)$, e k un intero positivo. Allora tutti i vertici A_{1-2n} (indicati da numeri dispari) della (r, k) -spirale discretizzata $\mathcal{P}_{r,k}$, giacciono su una spirale logaritmica \mathcal{S}_1 di crescita r^{2k} e con punto iniziale $A_1 = (\frac{r^2}{r^{k+1}}, 0)$, e tutti i vertici “pari” giacciono su una spirale logaritmica \mathcal{S}_2 con lo stesso fattore di crescita r^{2k} e con un opportuno punto iniziale H dipendente da r e da k .

Descrizione delle spirali logaritmiche con triangoli continui

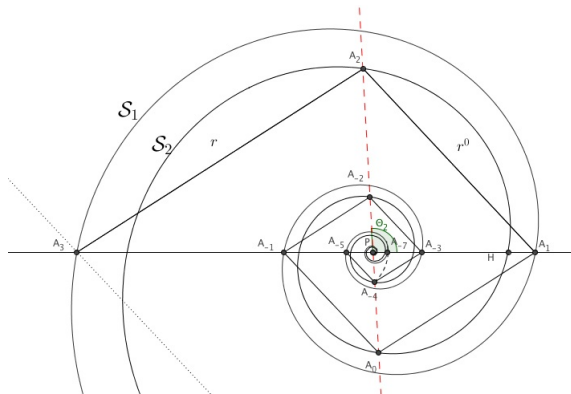


Figura: Spirali logaritmiche associate ad una (r, k) -spirale discretizzata

Spirali ellittiche logaritmiche

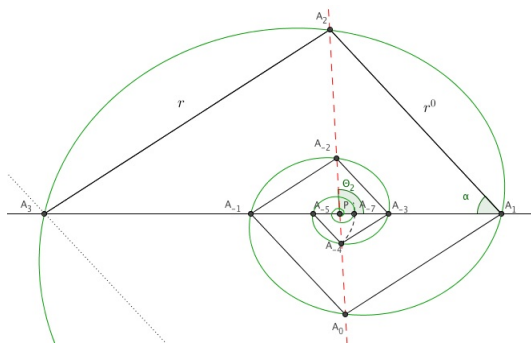


Figura: Elliptic logarithmic spiral approximately through all vertices of an assigned (1.35, 2)-male spiral



G. Anatriello and G. Vincenzi. *Logarithmic spirals and continue triangles*. Journal of Computational and Applied Mathematics. (2016); 296C:127–137. Doi 10.1016/j.cam.2015.09.004



G. Anatriello and G. Vincenzi. *Tribonacci-like sequences and generalized Pascal's triangles*. Int J Math Educ in Sci Technol. (2014);45(8):1220–1232.



R.C. Archibald. *Note on the logarithmic spiral, golden section and the fibonacci series. Note V, Dynamic symmetry*. New Haven: Yale University Press; 1920.



D'Arcy Wentworth Thompson. *On Growth and form*. New York: Cambridge University Press; 1992.



C. Baumgarten and G. Farin. *Approximation of logarithmic spirals*. Computer Aided Geometric Design. (1997);14 (6):515–532.



J. T. F. Briggs. *Almost congruent triangles with integral sides*. The Mathematics Teacher. (1997);70(3):253–257.



B. J. Mc. Cartin. *Mysteries of equilateral triangle*. Kettering: Hikari; 2010.



R.J. Cripps, M.Z. Hussain and S. Zhu. *Smooth polynomial approximation of spiral arcs*. Journal of Computational and Applied Mathematics. (2010);233(9):2227–2234.



F. Combes, P. Boissè, A. Mazure, A. Blanchard *Galaxies and Cosmology*. New York: Springer; 2002.



T. A. Cook. *The curves of the life*. New York: Dover; 1979.



E. P. Doolan. *A Sacred Geometry of the Equilateral Triangle*. Int J Math Educ in Sci Technol. (2008);39(5):601–629.



A. Fiorenza and G. Vincenzi. *Limit of ratio of consecutive terms for general order-k linear homogeneous recurrences with constant coefficients*. Chaos, Solitons & Fractals. (2011);44(1):145–152.



A. Fiorenza and G. Vincenzi. *From Fibonacci Sequence to the Golden Ratio*, J. Math. 2013, Art. ID 204674, 3pp.



P. Ghosh J. Kumar. *Seismic Bearing Capacity of Strip Footings Adjacent to Slopes Using the Upper Bound Limit Analysis*. Electronic Journal of Geotechnical Engineering (EJGE), 10 C (2005);



C. Gorini. *Geometry at works- Papers in applied Geometry*. MAA (2000); Notes Number 53.



F. Laudano *Questioni sui criteri di congruenza*. XXX (2001);1:XX–XX.



Utpal Mukhopadhyay. *Logarithmic spiral – A splendid curve*. Resonance. (2004);9(11):39–45.



R. Herz-Fischer. *The Shape of the Great Pyramid*. Waterloo (Ontario): Wilfrid Laurier University Press; 2000.



R. T. Jones and B. B. Peterson. *Almost congruent triangles*. Math Magazine. (1974);47(4):180–189.



M. Pennisi. *Triangles et Moyennes*. Metematique et Pedagogie; (1994);99:21–26.



J.C. Perez. *Chaos DNA and Neuro-computers: a golden link / The hidden language of genes, global language and ordre in the human genome*. Speculations in Science and Technology. (1991);14(4): 336–346.



Piazz Smith. *The Great Pyramid*. New York: Bell; 1978.



S. K. Saha. *Aperture Synthesis: Methods and Applications to Optical Astronomy*. Springer Science & Business Media; 2010.



P. Szalapaj. *Contemporary Architecture and the Digital Design Process*. New York: Routledge-Architectural press; 2005.



R. Takaki and N. Ueda. *Analysis of spirals Curves in Traditional Cultures*. Forum. (2007);22: 133-139.



S. Siani and G. Vincenzi. *Fibonacci-like sequences and generalized Pascal's triangles* . Int J Math Educ in Sci Technol. (2014);45(4):609-614.



www.spirasolaris.ca



G. Vitiello. *Fractals, coherent states and self-similarity induced noncommutative geometry* . Physics Letters A. (2012);376(37):2527–2532.



www.greatbuildings.com/building/Nathaniel_Russell_House.html



<http://www.dyscario.com/design/beautiful-and-unique-design-of-spiral-house-in-spain-madrid.html>



<https://www.behance.net/gallery/4446217/elliptical>